

مجله علوم و صنایع غذایی ایران



سایت مجله: www.fsct.modares.ac.ir

مقاله علمی-پژوهشی

بهینه‌سازی استخراج پروتئین دانه شبیله به کمک امواج فراصوت و بررسی خصوصیات ساختاری،

عملکردی و فعالیت ضد اکسایشی آن

آل قاسمی کیا^۱، علی گنجلو^{۲*}، ماندانا بی مکر^۲

۱-دانش آموخته کارشناسی ارشد فناوری مواد غذایی، گروه علوم و مهندسی صنایع غذایی، دانشکده کشاورزی، دانشگاه زنجان، زنجان، ایران.

۲-دانشیار گروه علوم و مهندسی صنایع غذایی، دانشکده کشاورزی، دانشگاه زنجان، زنجان، ایران.

چکیده

اطلاعات مقاله

تاریخ های مقاله :

تاریخ دریافت: ۱۴۰۰/۰۹/۰۳

تاریخ پذیرش: ۱۴۰۱/۰۳/۰۲

پروتئین‌ها به دلیل ویژگی‌های عملکردی و سلامت بخشی یکی از اجزاء مهم فرآورده‌های غذایی محسوب می‌شوند. در میان پروتئین‌های گیاهی، پروتئین دانه شبیله به دلیل میزان بالای اسید آمینه‌های ضروری بسیار مورد توجه قرار گرفته است. این پژوهش با هدف بهینه‌سازی استخراج پروتئین از دانه شبیله به کمک امواج فراصوت و بررسی ویژگی‌های عملکردی، ساختاری و فعالیت ضد اکسایشی انجام شد. فراصوت با قدرت ۸۰ وات و مدت ۲۸/۳۹ دقیقه شرایط بهینه برای استخراج پروتئین بود که تحت این شرایط بازده استخراج پیش‌بینی شده (۸/۶۵ درصد) مطابقت بسیار خوبی با مقدار تجربی (۸/۵۷ درصد) داشت. در طیف مادون قرمز تبدیل فوریه باندهای شاخص مربوط به آمید A، آمیدهای نوع I، II و III مشاهده گردید. حلایلت پروتئین وابسته به تغییرات pH بود. ظرفیت جذب آب و روغن پروتئین استخراج شده به کمک امواج فراصوت به ترتیب معادل ۶/۲۴ و ۲/۷۲ میلی‌لیتر به ازاء یک گرم پروتئین به دست آمد. کمترین ظرفیت کف‌کنندگی (۴۴/۶۶ درصد) در pH معادل ۵/۴ و بیشترین ظرفیت کف‌کنندگی (۹۲/۴۹ درصد) در pH معادل ۱۰ مشاهده شد. بیشترین ظرفیت امولسیون‌کنندگی در pH ۱۰، به میزان ۸۴/۵۳ درصد و کمترین میزان در pH نقطعه ایزووالکتریک (۵۴/۸۲ درصد) مشاهده شد. با ثابت درنظر گرفتن pH، پایداری کف و امولسیون در طول زمان کاهش یافت. نتایج نشان داد که می‌توان از فناوری فراصوت به طور کارآمدی جهت کاهش زمان فرایند استخراج پروتئین از دانه شبیله استفاده نمود. به علاوه پروتئین دانه شبیله استخراج شده به کمک امواج فراصوت دارای خواص عملکردی و ضد اکسایش مطلوبی است که استفاده از آن را در صنعت غذا امکان‌پذیر می‌سازد.

کلمات کلیدی:

استخراج، روشناسی سطح پاسخ، طیفسنجی مادون قرمز تبدیل فوریه، حلایلت پروتئین، ظرفیت کف‌کنندگی.

DOI: 10.22034/FSCT.19.126.39

DOR: 20.1001.1.20088787.1401.19.126.14.5

* مسئول مکاتبات: aganjloo@znu.ac.ir

دارای خواص دارویی نظیر اشتها آور، ملین، خلط آور، عامل ضد دیابت، ضد تب، ضد اکسایش، ضد سرطان و کاهنده کلسیرون خون می‌باشد [۱۵]. به علاوه مشخص شده است که دانه‌های شبیله به دلیل محتوای پکتین بالا (۵۰ درصد) از طریق تشکیل سوپاپسیون کلوئیدی در زمان هیدراته شدن سبب کاهش سرعت تخلیه مده و جذب گلورکز می‌شوند [۱۶]. استخراج قلیایی و ترسیب پروتئین‌ها در نقطه ایروالکتریک متداول‌ترین روش برای استخراج پروتئین از منابع مختلف گیاهی است. فرایند استخراج قلیایی پروتئین دانه شبیله توسط فیضی و همکاران (۲۰۱۵) بهینه سازی گردید [۱۱]. شرایط بهینه استخراج شامل pH معادل ۹/۲۵ و غلظت سدیم کلرید ۰/۳۳ مولار بود. به علاوه، فیضی و همکاران (۲۰۱۵) طی مطالعه دیگری به بررسی خواص عملکردی ایزوله پروتئین شبیله استخراج شده به روش استخراج قلیایی پرداختند [۱۷]. آنها گزارش کردند کمترین میزان حلالیت در pH برابر ۴/۵ رخ می‌دهد و ظرفیت کف کنندگی، امولسیون کنندگی، جذب آب و روغن به ترتیب حدوداً برابر ۱۳۶ درصد، ۳۹ درصد، ۲/۷ و ۶/۶ میلی لیتر به ازاء هر گرم ایزوله پروتئین می‌باشد. امروزه تمایل به استفاده از تکنیک‌های نوین استخراج‌نظری استفاده از امواج مایکروویو [۱۸]، میدان الکتریکی پالسی [۱۹]، امواج فرماصوت [۲۰-۲۲] و سیال فوق بحرانی [۲۳، ۲۴] افزایش یافته است. استخراج به کمک امواج فرماصوت یکی از روش‌های نوین ارزان قیمت، ساده و کارآمد برای جداسازی ترکیبات موجود در گیاهان محسوب می‌شود. امواج فرماصوت به امواج مکانیکی بافرکانس بیش از ۱۸ کیلوهرتز اطلاق می‌شود که برای انسان قابل تشخیص نمی‌باشند و غالباً برای انتشار نیاز به محیط مایع دارند [۲۵]. پدیده حفره‌زایی ناشی از امواج فرماصوت با ایجاد تغییرات فیزیکی، شیمیایی و مکانیکی باعث تورم سلول‌های گیاهی و یا تعزیزه دیواره سلولی در حین فرایند فرماصوت شده و باعث شستن امللاح از دیواره‌های سلولی تخریب شده می‌شود [۲۶]. حین عبور امواج فرماصوت از محیط مایع در اثر فروپاشی حباب‌های تشکیل شده دمایی در حدود ۵۰۰۰ درجه کلوین و فشاری معادل ۵۰ مگاپاسکال به صورت موضعی تشکیل می‌شود. تغییرات فشار و دما ایجاد شده در اثر انفجار حباب‌ها سبب ایجاد نیروهای برشی، نازک شدن غشای سلولی و تخریب سلول‌ها و در نتیجه افزایش میزان نفوذ حلال به داخل سلول و افزایش انتقال جرم ترکیبات

۱- مقدمه

استفاده از پروتئین‌ها به عنوان یک منبع تغذیه‌ای در راستای تأمین اسیدهای آمینه ضروری بدن خصوصاً در کشورهای در حال توسعه‌غیر قابل اجتناب است [۱]. به علاوه، پروتئین‌ها به دلیل ویژگی‌های عملکردی، سلامت بخشی و حسی نقش مهمی به عنوان یکی از اجزاء فرمولاسیون غذایی بازی می‌کنند [۲]. متأسفانه عدم وجود توازن بین افزایش جمعیت انسان‌ها و تولید منابع پروتئینی خصوصاً انواع حیوانی سبب افزایش تکاپوجهت دستیابی به منابع جدید پروتئینی شده است. در سال‌های اخیر، استفاده از پروتئین‌های گیاهی به عنلت ارزش غذایی بالا و ویژگی‌های عملکردی مناسب همراه با قیمت کم و تنوع زیاد، بسیار مورد توجه قرار گرفته است. از مهم‌ترین ویژگی‌های عملکردی پروتئین‌ها می‌توان به ظرفیت نگهداری آب و روغن، حلایت، تورم، تشکیل ژل، خصوصیات امولسیون کنندگی و کف‌زایی اشاره نمود که بر سیستم‌های غذایی طی آماده سازی، فرآوری، نگهداری و مصرف تأثیر بسزایی دارند [۳]. نحوه تولید آرد و یا ایزوله پروتئینی، منبع pH پروتئین، عوامل فیزیکی و شیمیایی نظیر دما، غلظت نمک، H⁺ و نوع ترکیبات مرتبط با شبکه پروتئینی از جمله عوامل موثر بر خواص عملکردی پروتئین‌های گیاهی بشمار می‌روند [۴، ۵]. پیش از این استخراج پروتئین از منابع گیاهی مختلف نظری نخود [۶]، ماش [۷]، خلر [۸]، عدس [۹]، کینوا [۱۰] انجام شده و خصوصیات ساختاری و عملکردی آن‌ها مورد بررسی قرار گرفته است.

دانه شبیله در میان بقولات به عنلت قیمت پایین، درصد پروتئین بالا و ارزش غذایی مطلوب بسیار مورد توجه قرار گرفته است [۱۱]. شبیله بانام علمی گیاهی علفی، یک‌ساله، *Trigonella foenumgraecum* دولپه‌ای متعلق به خانواده فاباگه^۱ است که عمدها در کشورهای جنوب شرق آفریقا، جنوب غرب آسیا، هند و اطراف دریای مدیترانه کشت می‌شود [۱۲]. ریشه، دانه و اندام هوایی این گیاه غنی از متابولیت‌های ثانویه از جمله فنول‌ها و ساپونین‌ها است. دانه‌هاین گیاه حاوی ۲۳-۳۶ درصد پروتئین (آلیومین‌ها، گلوبولین‌ها، گلوتئین‌ها و پرولامین‌ها)، ۵۸ درصد کربوهیدرات و مقادیر زیادی آهن، فسفر و ویتامین D است [۱۴]. دانه شبیله که معمولاً از آن به عنوان داروی گیاهی و ادویه استفاده می‌شود

1. Fabaceae

۱۴، آرد بدون چربی جهت حذف کامل حلال درون خشک کن با دمای ۴۰ درجه سلسیوس به مدت ۲۴ ساعت قرار گرفت. آرد شنبلیله چربی زدایی شده و خشک تا زمان انجام آزمایشات درون کيسه نایلوونی در مکان تاریک و دمای ۱۸ درجه سلسیوس قرار گرفت.

۲-۲-۱- استخراج پروتئین دانه شنبلیله به کمک امواج فراصوت

مقدار مشخصی از آرد شنبلیله چربی گیری شده (۵ گرم) با محلول نمکی سدیم کلرید ۰/۳۳ مولار با نسبت ۱ به ۲۰ وزنی- حجمی مخلوط شد. سپس pH مخلوط به منظور انحلال پروتئین با استفاده از سدیم هیدروکسید ۱ مولار معادل ۹/۲۵ تنظیم گردید [۱۱]. برای استخراج پروتئین از دستگاه فراصوت پرسوب (UP200H, Hielscher, Germany) با توان ۲۰۰ وات، فرکانس ۲۴ کیلوهرتز، مجهز به سونوترود از جنس تیتانیوم با قطر ۳ میلی‌متر استفاده شد. قدرت امواج فراصوت و مدت زمان اعمال امواج فراصوت فرآستوجه‌های مستقل مورد مطالعه در این پژوهش بودند (جدول ۱). تغییرات pH در طول زمان اعمال فراصوت کنترل شد. پس از اتمام زمان استخراج به کمک فراصوت، مخلوط حاصل به مدت ۳۰ دقیقه در دمای ۲۵ درجه سلسیوس و با سرعت ۴۵۰۰ دور بر دقیقه سانتریفیوژ شد. سپس با استفاده از کلریدریک اسید ۱ مولار pH در نقطه ایزوالکتریک معادل ۴/۵ به منظور ترسیب پروتئین تنظیم شد و دوباره در سرعت ۴۵۰۰ دور بر دقیقه به مدت ۲۰ دقیقه جهت جداسازی فاز رسوبی حاوی پروتئین سانتریفیوژ شد. در گام بعد رسوب پروتئین با آب مقطر با نسبت ۱ به ۵ وزنی- حجمی طی دو مرحله به منظور افزایش خلوص شستشو داده شد و یکبار دیگر در سرعت ۴۵۰۰ دور بر دقیقه به مدت ۵ دقیقه سانتریفیوژ گردید. سپس پروتئین به دست آمده در آب دیونیزه حل شد و با استفاده از سدیم هیدروکسید ۱ مولار تا رسیدن به pH معادل ۷/۲ خشی گردید. در نهایت پروتئین به دست آمده با استفاده از خشک کن انجام داد، خشک شد و تا زمان آزمایشات بعدی در مکان تاریک و دمای ۴ درجه سلسیوس نگهداری شد. برای تعیین درصد پروتئین در نمونه از روابط زیر استفاده شد.

$$Y_N = \frac{V \times N_{acid} \times 1.401}{M}$$

$$Y_P = Y_N \times C_P$$

هدف به داخل حلال می‌گردد [۲۷]. چنین پدیده‌ای سبب افزایش کارایی استخراج از طریق افزایش انتقال جرم و سازوکارهای نفوذ داخلی^۱ می‌گردد [۲۸]. از این فناوری به طور موفقیت آمیزی برای افزایش میزان استخراج پروتئین از ماهی ماکرل [۲۰]، سویا [۲۹]، کلزا [۳۰] و لوبیا سیاه [۳۱] استفاده شده است. تاثیرات فرآصوت بر اصلاح پروتئین به لحاظ ساختاری، عملکردی و شیمیایی به اثبات رسیده است [۳۳-۳۱]. بررسی منابع نشان می‌دهد تاکنون مطالعه‌ای بر روی تاثیر فرآصوت بر راندمان استخراج پروتئین از دانه شنبلیله و خواص عملکردی و ضد اکسایشی آن انجام نشده است. لذا این پژوهش با هدف بهینه‌سازی استخراج پروتئین از دانه شنبلیله با کمک امواج فرآصوت و بررسی خصوصیات ساختاری، عملکردی و ضد اکسایشی پروتئین شنبلیله به عنوان جایگزین منابع پروتئین حیوانی در سیستم‌های غذایی مختلف نظر امولیسیون، ژل و کف انجام شده است.

۲- مواد و روش‌ها

۲-۱- مواد

دانه‌های شنبلیله مورد استفاده در این پژوهش از بازار محلی زنجان تهیه شدند. کلیه حلال‌ها و مواد شیمیایی با درجه آزمایشگاهی از شرکت‌های مرک، سیگما و مجللی تهیه شدند. از روغن مایع آفتابگردان (طبیعت، ایران) برای تهیه امولیسیون استفاده شد.

۲-۲- روش‌ها

۲-۲-۱- آماده‌سازی آرد چربی گیری شده از دانه شنبلیله

ابتدا دانه‌های شنبلیله تمیز و عاری از مواد زائد با استفاده از یک آسیاب آزمایشگاهی خرد و سپس به منظور تولید پودر یکنواخت از یک الک با مش ۴۰ عبور داده شدند. آرد به دست آمده به منظور چربی‌زدایی با نسبت ۱ به ۵ وزنی- حجمی با هگزان نرمال مخلوط شد و پس از شش ساعت هم‌زدن توسط یک همزن مغناطیسی در دمای محیط، آرد بدون چربی شنبلیله آماده شد. به منظور افزایش کارایی فرایند چربی‌زدایی هر سه ساعت یکبار حلال هگزان نرمال توسط کاغذ صافی و اتمن شماره جدا کردن حلال هگزان نرمال توسط کاغذ صافی و اتمن شماره

میزان حلالیت پروتئین در pH های معادل ۲، ۴/۵، ۶، ۸ و ۱۰ انجام شد [۳۷].

۶-۲- ظرفیت جذب آب^۶ و جذب روغن^۷

اندازه‌گیری ظرفیت جذب آب و روغن بر اساس روش بوجات (۱۹۷۷) انجام شد [۳۸]. بدین منظور ۲/۵ میلی‌لیتر روغن آفتابگردان یا آب دیونیزه (V_0) به ۲۵۰ میلی‌گرم پروتئین شبیله (W) اضافه و به مدت دو دقیقه توسط دستگاه ورتکس مخلوط شد. پس از ۳۰ دقیقه نگهداری در دمای محیط، با سرعت ۳۰۰۰ دور بر دقیقه مدت ۲۰ دقیقه سانتریفیوژ و فاز رویی شامل آب یا روغن (V_1) جدا و دور ریخته شد. به منظور حصول اطمینان از تخلیه کامل آب و یا روغن، لوله‌ها به مدت چند دقیقه روی کاغذ صافی به صورت واژگون نگه داشته شدند. ظرفیت جذب آب و روغن از طریق رابطه زیر محاسبه گردید:

$$\text{WHC or OHC (ml/gr)} = V_0 - V_1 / W$$

۷-۲- تعیین ظرفیت کف‌کنندگی^۶ و پایداری^۷ کف

محلول ۲ درصد پروتئین شبیله با استفاده از آب مقطر تهیه شد و pH محلول پروتئینی در مقادیر ۲، ۴/۵، ۶، ۸ و ۱۰ با استفاده از کلریدریک اسید و یا سدیم هیدروکسید ۰/۵ مولار تنظیم شد. محلول‌های پروتئینی به مدت ۵ دقیقه با استفاده از یک همزن مغناطیسی به آرامی هم‌زدهو در نهایت به فالکون مدرج منتقل شدند. حجم محلول قبل از هم‌زدن (V_0) و بالافاصله پس از هم‌خوردن (V_1) به مدت ۲ دقیقه با سرعت ۱۰۰۰۰ دور بر دقیقه توسط دستگاه هموزنایزر دور بالا (SR-30, MTOPS, Korea) ثبت شد [۳۹]. میزان ظرفیت کف‌کنندگی از طریق رابطه زیر محاسبه گردید:

$$\text{FC\%} = (V_1 - V_0) / V_0 \times 100$$

حجم کف (V_2) طی دوره زمانی ۱۲۰-۳۰ دقیقه پس از مخلوط کردن به منظور بررسی پایداری کف ثبت و از طریق رابطه زیر محاسبه شد:

$$\text{FS\%} = (V_2 - V_0) / (V_1 - V_0) \times 100$$

در این روابط، Y_N درصد ازت، V حجم اسید مصرفی، N_{acid} نرمالیته اسید، M وزن نمونه، Y_P درصد پروتئین و C_P ضریب پروتئین است و نرمالیته اسید مصرفی و ضریب پروتئین به ترتیب معادل ۰/۱ مول بر لیتر و ۶/۲۵ می‌باشد.

۶-۳- طیف‌سنجدی ماوراء بنفس

برای انجام این آزمون، محلول آبی پروتئین با غلظت دو میلی‌گرم بر میلی‌لیتر تهیه و میزان جذب در طول موج‌های ۴۰۰-۲۰۰ نانومتر توسط دستگاه طیف‌سنجد ماوراء بنفس- مرئی (Analytikjena, SPECORD 250, Germany) خوانده شد.

۶-۴- طیف‌سنجدی مادرون قرمز تبدیل فوریه (FT-IR)

جهت بررسی و تشخیص پیوند در پروتئین استخراج شده از دانه شبیله از آزمون طیف‌سنجدی مادرون قرمز تبدیل فوریه منطبق با روش چن و همکاران (۲۰۱۱) استفاده شد [۳۵]. بدین منظور ابتدا پروتئین شبیله با پتاسیم برومید به نسبت ۱:۱۰ مخلوط شد. مخلوط حاصل به صورت قرص نازک درآورده شد و میزان جذب در محدوده ۴۰۰-۴۰۰۰ سانتی‌متر توسط دستگاه طیف‌سنجد مادرون قرمز (Nicolet IS10, Thermo scientific, USA) اندازه‌گیری شد.

۶-۵- حلایت پروتئین^۳

در ابتدا محلول پروتئینی با غلظت ۱/۵ درصد با کمک آب دیونیزه تهیه گردید و pH آن توسط کلریدریک اسید و یا سدیم هیدروکسید ۰/۵ مولار تنظیم گردید. سپس محلول پروتئینی به مدت ۳۰ دقیقه به کمک یک همزن مغناطیسی در دمای اتاق هم‌زده شد و به منظور جداسازی پروتئین غیرمحلول در سرعت ۵۰۰۰ دور بر دقیقه به مدت ۱۵ دقیقه سانتریفیوژ گردید [۳۶]. میزان پروتئین در فاز رویی با اضافه کردن معرف بیورتو نگهداری به مدت ۲۰ دقیقه به کمک دستگاه طیف‌سنجد Analytikjena, SPECORD 250, (Germany) در طول موج ۵۴۰ نانومتر تعیین گردید. برای رسم منحنی کالیبراسیون از محلول سرم آلبومن گاو در غلاظت‌های صفر تا ۱۰ (میلی‌گرم بر میلی‌لیتر) در معرف بیورت استفاده گردید و معادله به دست آمده به صورت $y=0.0345x+0.3407$ بود. لازم به ذکر است که بررسی

4. Water holding capacity (WHC)

5. Oil holding capacity (OHC)

6. Foaming capacity (FC)

7. Foam stability (FS)

3. Protein solubility

محاسبه شد. از آسکوربیک اسید در غلظت‌های مشابه به عنوان کنترل مثبت استفاده شد.

$$\text{DPPH freradicalscavenegingactivity\%} =$$

$$1 - \frac{(Ab_2 - Ab_1) / Ab_0}{100} \times 100$$

در این رابطه Ab_0 میزان جذب محلول DPPH بدون اضافه کردن نمونه، Ab_1 میزان جذب نمونه بدون اضافه کردن محلول DPPH و Ab_2 میزان جذب محلول DPPH و نمونه می‌باشد.

۱۰-۲- بهینه‌سازی فرایند استخراج و تجزیه و تحلیل آماری داده‌ها

در این پژوهش، از نرم افزار آماری Design Expert 7.0.3 (برای اعمال روش شناسی (Minneapolis, USA) سطح-پاسخ، بررسی روابط میان فراسنجه‌های مستقل و پاسخ، ایجاد نمودارهای سه بعدی و بهینه‌یابی استفاده شد. آزمایشات بر اساس طرح باکس-بنکن شامل ۱۳ تیمار با ۵ تکرار در نقطه مرکزی بود. فراسنجه‌های مورد مطالعه و سطوح بالا (+1)، میانی (صفر) و پایینی (-1)- آنها بر اساس مطالعات اولیه انتخاب گردید (جدول ۱). از مدل چند جمله‌ای برای مدل‌سازی فرایند استفاده شد. مدل درجه دوم را می‌توان به صورت زیر نوشت:

$$Y(\%) = \beta_0 + \sum \beta_i X_i + \sum \beta_{ii} X_i^2 + \sum \beta_{ij} X_i X_j$$

در این رابطه β_0 ضرایب رگرسیونی به ترتیب برای عرض از مبدأ، اثرات خطی، درجه دوم، اثرات متقابل و X_i و X_j فراسنجه‌های مستقل هستند. از آزمون ضعف برازش^۸، ضریب تغییرات (C.V.)، ضریب تبیین (R^2)، ضریب تبیین اصلاح شده (adj- R^2) و عدد p در سطح اطمینان ۹۵ درصد برای بررسی صحت مدل و تاثیر فراسنجه‌ها استفاده شد. برای تعیین شرایط بهینه از روش بهینه‌سازی عددی^۹ با هدف به حداقل رساندن راندمان استخراج پروتئین از دانه شبیله استفاده شد. برای اعتبارسنجی مدل پیشنهادی، مقادیر راندمان استخراج پیشنهادی شده با مقادیر تجربی به دست آمده تحت شرایط بهینه (حداقل ۵ تکرار) مقایسه گردید. تجزیه و تحلیل آماری داده‌های آزمایشگاهی از طریق مقایسه میانگین بر اساس آزمون توکی در سطح اطمینان ۹۵ درصد و با

۸-۲- ظرفیت امولسیون‌کنندگی^۸ و پایداری حرارتی امولسیون^۹

بررسی ظرفیت امولسیون کنندگی و پایداری حرارتی امولسیون به روشتوفهمکاران (۲۰۰۱) با اندکی اصلاحات انجام شد [۴۰]. ابتدا محلول ۱ درصد پروتئین شبیله با استفاده از آب مقطر تهیه شد. سپس pH محلول پروتئینی در مقادیر ۲، ۴/۵، ۶، ۸ و ۱۰ بالاستفاده‌های کلریدریک اسید یا سدیم هیدروکسید ۵/۰ مولار تنظیم شد. سپس روغن آفتابگردان به محلول پروتئینی اضافه و به مدت ۲/۵ دقیقه توسط یک همزن مغناطیسی به آرامی و پس از آن به مدت ۲/۵ دقیقه توسط دستگاه هموژنایزر دور بالا (SR-30, MTOPS, Korea) با سرعت ۵۰۰۰ دور بر دقیقه هم‌زده شد. در انتهای امولسیون به دست آمده در سرعت ۱۰۰۰ دور بر دقیقه به مدت ۲ دقیقه سانتریفیوژ شد. ارتفاع لایه امولسیون قبل (H_0) و بعد از سانتریفیوژ اندازه‌گیری شد (H_1). ظرفیت امولسیون‌کنندگی با استفاده از رابطه زیر محاسبه گردید:

$$EC\% = H_1 / H_0 \times 100$$

جهت پایداری حرارتی امولسیون، نمونه‌ها دقیقاً قبل از سانتریفیوژ در بنماری با دمای ۸۰ درجه سلسیوس قرار گرفتند و پایداری امولسیون طی دوره زمانی ۱۲۰-۳۰ دقیقه در هر H_2 پس از پایان حرارت دهی اندازه‌گیری شد.

$$ETS\% = H_2 / H_1 \times 100$$

۹-۲- اندازه‌گیری فعالیت ضد اکسایشی

به روش ۱، ۱- دیفنیل-۲- پیکریل- هیدرازیل (DPPH)

فعالیت مهارکنندگی رادیکال‌های آزاد DPPH توسط پروتئین دانه شبیله طبق روش ژی و همکاران (۲۰۱۲) اندازه‌گیری شد [۴۱]. ابتدا یک میلی‌لیتر از محلول نمونه با غلظت‌های مختلف (۰/۰۵، ۰/۱ و ۱ میلی‌گرم بر میلی‌لیتر) با یک میلی‌لیتر محلول اتانولی ۰/۱ میلی‌مولار DPPH مخلوط و ۳۰ دقیقه در دمای محیط و مکان تاریک قرار داده شد. سپس جذب نمونه در طول موج ۵۱۷ نانومتر قرائت شد. میزان فعالیت مهارکنندگی رادیکال‌های آزاد DPPH با استفاده از رابطه زیر

8. Lack-of-fit test

9. Numerical optimization

8. Emulsion stability (ES)

9. Emulsion thermal stability (ETS)

وضوح توسط ضریب تبیین ($R^2 = 0.9807$) و ضریب تبیین تعدیل شده ($adj-R^2 = 0.9669$) نشان داده شده است. تکرارپذیری و قابلیت اطمینان به مدل توسط مقدار کم ضریب واریانس ($3/91$) نیز تایید شد. شکل ۱ نیز مؤید انتساب مطلوب بین داده‌های تجربی و پیش‌بینی شده است. شکل ۲ نمودار پرشیدگی دو فراسنجه مستقل مورد مطالعه شامل قدرت امواج فراصوت و زمان اعمال فراصوت در فرایند استخراج پروتئین از دانه شبیله به کمک امواج فراصوت را نشان می‌دهد. از آنجایی که وجود انحنای در نمودار نشانگر حساسیت پاسخ به فراسنجه مورد مطالعه است لذا حساسیت عملکرد استخراج پروتئین از دانه شبیله به صورت سطح پاسخ سه بعدی در شکل ۳ نشان داده شده است. همان‌طور که ملاحظه می‌شود عملکرد استخراج پروتئین از دانه شبیله به ترتیب با افزایش زمان اعمال فراصوت و میزان قدرت امواج فراصوت به ترتیب تا ۲۵ دقیقه و ۸۰ وات افزایش یافت. با افزایش قدرت امواج فراصوت مقدار حفره‌سازی افزایش می‌یابد که این امر می‌تواند با ایجاد شوک‌های مکانیکی شدید منجر به شکستن مؤثرتر غشاء سلول‌های گیاهی گردد. در نهایت این رخداد می‌تواند منجر به افزایش سرعت انتقال جرم به علت سرعت بالای انتشار حلال به داخل سلول‌ها و درنتیجه انتشار بیشتر مواد حل شونده به محیط اطراف شود [۴۲].

استفاده از نرم افزار Minitab نسخه ۱۶ انجام شد. تمامی آزمون‌ها با سه تکرار انجام شدند و نتایج به صورت میانگین ± انحراف معیار گزارش گردید.

۳- نتایج و بحث

۱-۳- بررسی تاثیر فراسنجه‌های مستقل بر عملکرد استخراج پروتئین از دانه شبیله و بهینه‌سازی فرایند

مقادیر تجربی حاصل از انجام ۱۳ تیمار شامل ۵ تکرار در نقطه مرکزی در جدول ۱ نشان داده شده است محدوده عملکرد استخراج پروتئین شبیله در محدوده $4/4$ تا $8/4$ درصد قرار داشت. براساس جدول ۲، آزمون F برای مدل درجه دوم معنی‌دار بود ($F-value = 71/01$ ، $p < 0.0001$). به علاوه، اثرات خطی، درجه دوم و متقابل تمامی فراسنجه‌های مستقل مطالعه تاثیر معنی‌داری بر پاسخ داشتند (جدول ۲). مدل چندجمله‌ای نهایی حاصل به شرح زیر بود:

$$Y = 8/03 + 1/28A + 0/75B + 0/33AB - 1/77A^2 - 0/47B^2$$

در این معادله، Y راندمان استخراج پروتئین از دانه شبیله (درصد)، A قدرت امواج فراصوت (وات) و B زمان اعمال فراصوت (دقیقه) بود. علائم مشت و منفی ضرایب ترتیب نشان دهنده اثرات سینزیستی و آنتاگونیستی فراسنجه‌های مستقل بر پاسخ می‌باشند. دقت و ارتباط بین پاسخ و متغیرهای مستقل به

Table 1 Box-Behnken experimental design for determination of ultrasound-assisted Fenugreek seed protein extraction yield

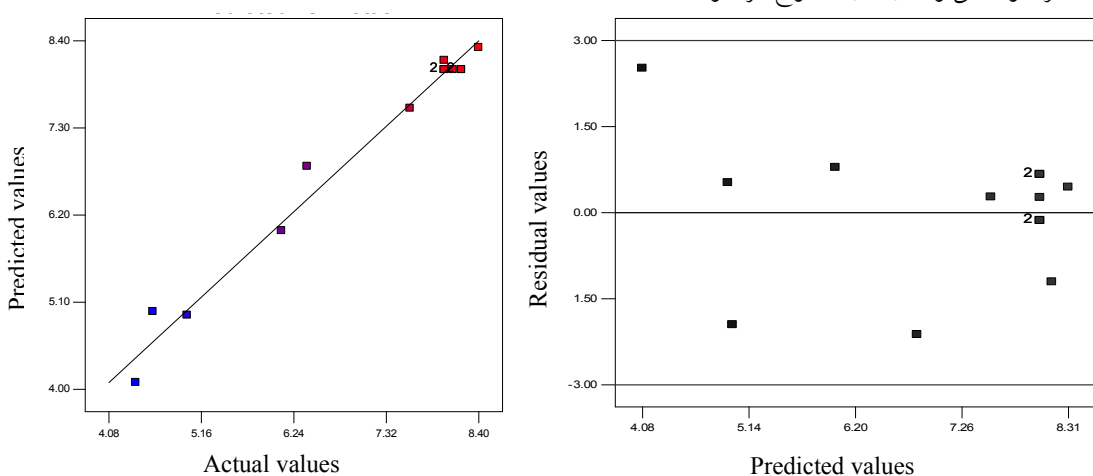
Independent variables	Levels		
	-1	0	+1
Ultrasonic power(W)	40	70	100
Sonication time (Min)	10	20	30
No	Ultrasonic power(W)	Sonication time (Min)	Experimental yield (%)
1	40	10	4.4
2	100	10	6.1
3	40	30	5.0
4	100	30	8.0
5	40	20	4.6
6	100	20	7.6
7	70	10	6.4
8	70	30	8.4
9	70	20	8.2
10	70	20	8.0
11	70	20	8.0
12	70	20	8.1
13	70	20	8.2
			Predicted yield (%)

Table 2 Analysis of variance (ANOVA) for effect of independent variables on ultrasound-assisted extraction yield of Fenugreek seedprotein

Source	Sum of square	df	Mean square	F-value	p-value	prob> F
Model	26.58	5	5.32	71.01	<0.0001	Significant
A- Ultrasonic power	9.88	1	9.88	132.02	<0.0001	
B- Sonication time	3.37	1	3.37	45.09	0.0003	
AB	0.42	1	0.42	5.64	0.0492	
A ²	8.66	1	8.66	115.69	<0.0001	
B ²	0.61	1	0.61	8.18	0.0244	
Residual	0.52	7	0.07			
Lack-of-Fit	0.48	3	0.16	16.13	0.0106	Significant
Pure error	0.04	4	1.00E-002			
Cor total	27.10	12				

وات و زمان اعمال فراصوت معادل ۲۸/۳۹ دقیقه استفاده نمود. تحت این شرایط میزان عملکرد کمی استخراج معادل ۸/۶۵ درصد بود. عدم وجود تفاوت چشمگیر بین مقادیر به دست آمده از مدل و مشاهدات تجربی به خوبی کارآیی مدل را اثبات می نماید (جدول ۳). فیضی و همکاران (۲۰۱۵) طی مطالعه ای به بهینه سازی فرایند استخراج قلیابی پروتئین از دانه شبیله pH پرداختند و نتایج نشان داد که تحت شرایط بهینه شامل معادل ۹/۲۵ و محلول نمکی سدیم کلرید ۰/۳۳ مولار در مدت زمان ۲ ساعت می توان به حدود ۱۹ درصد عملکرد کمی استخراج پروتئین دست یافت. آنها محتوای پروتئینی ایزوله به دست آمده را ۸۶/۹ درصد گزارش کردند در حالی که محتوای پروتئینی ایزوله پروتئینی استخراج شده به کمک امواج فرراصوت در مطالعه حاضر ۸۷/۱ درصد بود. نتایج به دست آمده کارآیی فناوری فرراصوت را کاهش زمان فرایند استخراج پروتئین از دانه شبیله را به اثبات می رسانند [۱۱].

افزایش قدرت امواج فرراصوت به بیش از ۸۰ وات موجب کاهش عملکرد استخراج پروتئین از دانه شبیله می شود. کاهش عملکرد استخراج در توان های بالاتر فرراصوت به دلیل تخریب پروتئین می باشد. تئین از دانه شبیله بیشتر تحت تاثیر قدرت امواج فرراصوت (A) قرار دارد. همان طور که پیشتر اشاره شد زمان اعمال فرراصوت تا یک حد آستانه بر عملکرد استخراج پروتئین نقش مثبت دارد. همان طور که ملاحظه می شود افزایش زمان اعمال فرراصوت به بیش از ۲۵ دقیقه تاثیر چشمگیری بر افزایش عملکرد استخراج پروتئین از دانه شبیله نداشت به این معنی که فرایند استخراج به حالت تعادل می رسد [۴۲]. نتایج مطالعات متعدد نیز حاکی از آن است که استفاده از زمان های طولانی اعمال فرراصوت تاثیر چشمگیری بر افزایش راندمان استخراج ندارد [۴۵-۴۳]. با توجه به نتایج بهینه سازی با استفاده از تکنیک عددی، برای به حداقل رساندن عملکرد استخراج پروتئین از دانه شبیله به کمک فرراصوت می توان از قدرت امواج فرراصوت معادل ۸۰

**Fig 1** Relationship between actual vs. predicted values by proposed model

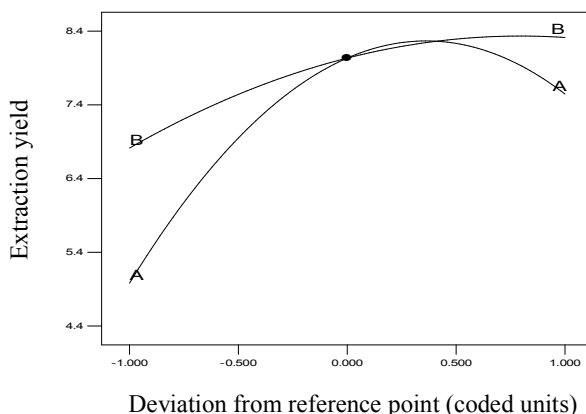


Fig 2 Perturbation plot of (A) ultrasonic power and (b) sonication time on extraction yield of Fenugreek seed protein

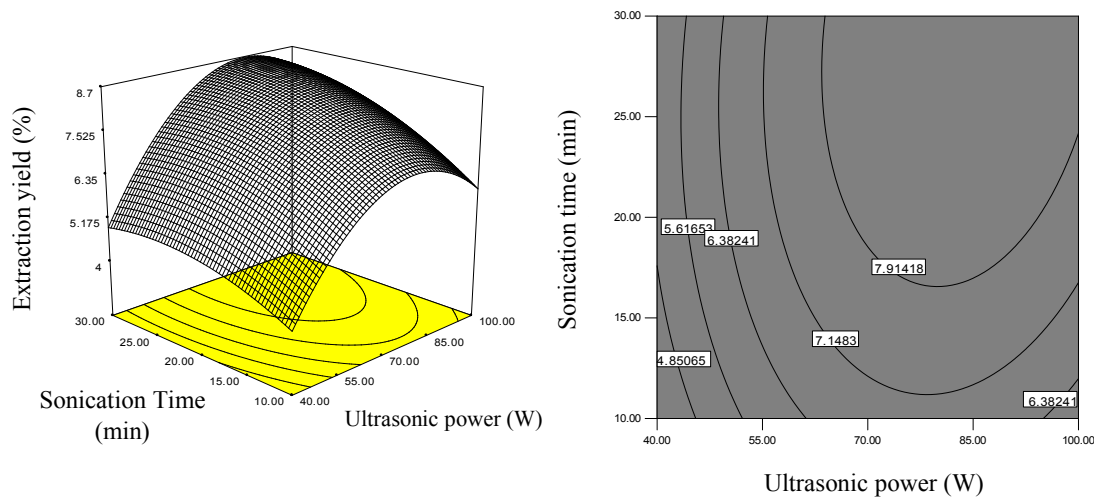


Fig 3 3D plot of the effect of ultrasonic power and sonication time on extraction yield of Fenugreek seed protein.

Table 3 Optimized conditions for ultrasound-assisted extraction of Fenugreek seed protein

Ultrasonic power (W)	Sonication time (min)	Predicted extraction yield (%)	Experimental extraction yield (%)	Desirability
80	28.39	8.65	8.57±0.10	1.00

طیف سنجی مادون قرمز روشنی کارآمد برای بررسی گروههای عاملی می‌باشد [۴۶]. وجود باند در محدوده $3500\text{--}3200\text{ cm}^{-1}$ مربوط به آمید A است که نشان‌دهنده ارتعاشات کششی $\text{NH}-$ در ساختار پروتئین است. باند جذبی در 2925cm^{-1} بیانگر حالت کششی متقاضن گروه متیلن (CH_2) است که معمولاً در زنجیره خطی جانبی پروتئین‌ها دیده می‌شود [۴۷]. وجود سه باند در 1654cm^{-1} و 1545cm^{-1} به ترتیب مربوط به آمید I، آمید II و آمید III است

۲-۳- طیف سنجی ماوراء بینفس

وجود پیک در 260 و 280 نانومتر بیانگر وجود اسید نوکلئیک یا پروتئین در نمونه است. در طیف به دست آمده از محلول مورد مطالعه یک پیک در حدود 280 نانومتر قابل مشاهده است که تایید کننده وجود پروتئین می‌باشد (شکل ۴-الف).

۳-۳- طیف سنجی مادون قرمز تبدیل فوریه

الکترواستاتیکی بین اسیدهای آمینه با بارهای همنام افزایش و در نتیجه حلالیت بیشتر می‌شود [۴۹]. تغییرات حلالیت پروتئین شنبلیله در pH های ۴/۵، ۶، ۸، ۱۰ در جدول ۴ نمایش داده شده است. تغییرات pH تاثیر معنی‌داری (p<۰/۰۵) بر حلالیت پروتئین شنبلیله داشت. کمترین و بیشترین میزان حلالیت پروتئین به ترتیب در pH معادل ۴/۵ و ۱۰ به دست آمد. نتایج به دست آمده در تحقیقات فیضی و همکاران (۲۰۱۵) و همچنین نسری و ال‌تینای (۲۰۰۷) نیز مؤید چنین نتیجه‌ای بود [۱۱]. دلیل کاهش حلالیت در pH معادل ۴/۵ را می‌توان به تعادل بارهای ناهمنام در نقطه pH ۴/۵ را می‌توان به نتیجه کاهش نیروهای دافعه الکترواستاتیک ایزوالکتریک و در نتیجه آگلomerه شدن و رسوب پروتئین از طریق ایجاد پیوندهای آب‌گریز می‌گردد [۱۱]. همان‌طور که پیشتر نیز ذکر شد با فاصله گرفتن از نقطه pH ایزوالکتریک حلالیت افزایش می‌یابد. به‌طور کلی پروتئین استخراج شده به کمک بالاتری برخوردار بود. در مطالعه دلیل حلالیت بیشتر پروتئین استخراج شده به کمک فراصوت را می‌توان به تغییر کنفورماسیونی به‌علت بازشدن ساختار پروتئین در حین تیمار فراصوت به‌دلیل وقوع پدیده حفره‌زایی نسبت داد که سبب می‌شود باندهای پیتیدی شکسته شده و اسیدهای آمینه قطیبی به راحتی در دسترس آب قرار گرفته و سبب افزایش حلالیت پروتئین گردد [۵۳]. نتایج به دست آمده با نتایج جمبراک و همکاران (۲۰۰۹)، جین و آنال (۲۰۱۶) و مالیک و همکاران (۲۰۱۷) مطابقت داشت [۵۰-۵۲].

۵-۳- ظرفیت جذب آب و روغن

مهم‌ترین خصوصیت فیزیکی پروتئین‌ها جذب آب است که بر بافت و گرانزوی ماده غذایی حاوی پروتئین اثر می‌گذارد و به‌علاوه از نظر فساد ماده غذایی نیز، به دلیل تأثیری که بر میزان فعالیت آب دارد بسیار حائز اهمیت است [۵۰]. نتایج ظرفیت جذب آب و روغن پروتئین استخراج شده از دانه شنبلیله به کمک امواج فراصوت در جدول ۴ آورده شده است. ظرفیت جذب آب پروتئین شنبلیله حدوداً ۷۲۴ میلی‌لیتر به ازاء هر گرم بود. فیضی و همکاران (۲۰۱۵) میزان جذب آب پروتئینی شرایط شده از دانه شنبلیله به روشن استخراج قلیایی را تحت شرایط بهینه معادل ۲/۷ میلی‌لیتر به ازاء هر گرم گزارش کردند [۱۱]. نتایج جین و آنال (۲۰۱۶) نیز نشان داد اعمال فراصوت

[۴۸]. باند مربوط به ناحیه آمید I ناشی از ارتعاشات کششی C=O، آمید II عمدها ناشی از ارتعاشات کششی C-N یا خمشی N-H گروه‌های عاملی پروتئین است در حالی که آمید III توسط ارتعاشات کششی C-N حاصل می‌گردد. وجود پیک در ۱۲۴۲ cm^{-۱} مربوط به حالت کششی C-N است در حالی که باند در محدوده ۱۰۶۸ cm^{-۱} با ارتعاشات کششی نامتقارن C-O-C است (شکل ۴- ب)

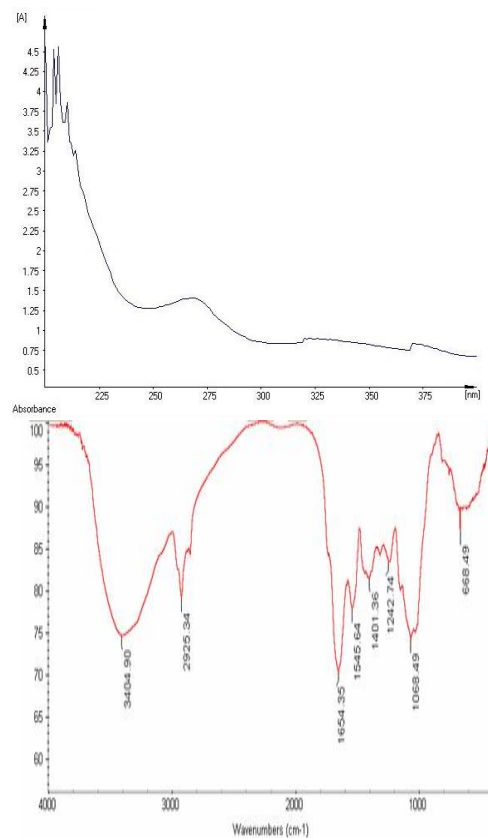


Fig 4 (a) UV spectrum between 200-400 nm (b) FTIR spectrum between 4000-400 cm^{-۱} of Fenugreek seed protein

۳-۴- حلالیت پروتئین

حالیت یکی از مهم‌ترین خواص عملکردی پروتئین‌ها است که کارآیی ترکیبات پروتئینی را در فرمولاسیون‌های غذایی کنترل می‌کند. این ویژگی با توجه به تاثیر بر سایر ویژگی‌های عملکردی پروتئین در شرایط مختلف از اهمیت ویژه‌ای برخوردار است. معمولاً میزان حلالیت پروتئین‌ها وابسته به تغییرات pH است و در pH های بالاتر و پایین‌تر از نقطه ایزوالکتریک به ترتیب به دلیل افزایش بار منفی ناشی از گروه‌های کربوکسیل و بار مثبت گروه‌های آمینی، نیروی دافعه

احساس دهانی و ویژگی عطر و طعم دارد [۵۰]. میزان جذب روغن پروتئین شبیله استخراج شده به کمک امواج فراصوت ۲/۷۲ میلی لیتر به ازاء هر گرم بود. در حالی که ال نسری و ال تیناری (۲۰۰۷) و فیضی و همکاران (۲۰۱۵) ظرفیت جذب روغن ایزوله پروتئینی شبیله را به ترتیب معادل ۶/۶ و ۱/۵۶ میلی لیتر به ازاء هر گرم ایزوله گزارش کردند [۳، ۱۱]. جین و آنال (۲۰۱۶) گزارش کردند که اعمال فراصوت تاثیری بر بهبود قابلیت جذب روغن هیدرولیزات‌ها پروتئینی استخراج شده از غشاء پوسته تخم مرغ ندارد [۵۰]. دلیل تفاوت در ظرفیت جذب روغن در پروتئین استخراج شده به کمک فراصوت و استخراج شده به روش قلیایی را می‌توان به نوع برهمکش زنجیره‌های غیرقطبی پروتئین با زنجیره‌های جانبی هیدروکربنی روغن و شکل فضایی پروتئین [۵۸] و همچنین تعداد اسیدهای آمینه غیرقطبی در زنجیره جانبی پروتئین ها [۵۹] نسبت داد.

سبب افزایش ظرفیت جذب آب هیدرولیزات‌های پروتئینی حاصل از غشاء پوسته تخم مرغ شده است [۵۰]. بهطور کلی دلیل افزایش ظرفیت جذب آب را می‌توان به تغییرات ریزساختار، کنفورماسیون پروتئین‌ها در اثر اعمال فراصوت [۵۴]، دناتوره شدن پروتئین‌ها [۵۵] و همچنین حضور کربوهیدرات‌های آب‌دوست و مقدار چربی نسبت داد [۵۶]. منظور از جذب روغن، محبوس شدن فیزیکی روغن در شبکه پروتئینی است که به شکل فضایی پروتئین و زنجیره‌های غیرقطبی پروتئین و نوع برهمکش (پیوندهای غیرکوالانتسی مانند پیوندهای آب گریز، الکترواستاتیک و هیدروژنی) با زنجیره‌های جانبی هیدروکربنی روغن بستگی دارد [۵۷]. قابلیت جذب روغن توسط پروتئین‌ها تاثیر بسزایی بر افزایش زمان ماندگاری مواد غذایی فرآوری شده از طریق کاهش میزان رطوبت و چربی و بهبود ویژگی‌های حسی خصوصاً ویژگی

Table 4 Functional properties of ultrasound-assisted extracted Fenugreek seed protein

Functional properties		
Protein solubility* (mg/mL)	Water holding capacity (mL/g)	Oil holding capacity (mL/g)
8.92±0.48 ^{ab}		
4.26±0.31 ^d		
7.89±0.51 ^c	6.24±0.18	
8.14±0.24 ^{bc}		2.72±0.10
9.41±0.19 ^a		

*Values represent protein solubility at pH of 2, 4.5, 6, 8 and 10, respectively. The values with different superscript letters are significantly different ($p<0.05$).

نتایج به دست آمده از تحقیقات فیضی و همکاران (۲۰۱۵) بر روی ایزوله پروتئین شبیله و همچنین ال نسری و ال تیناری (۲۰۰۷) نیز مؤید نتایج به دست آمده در این پژوهش می‌باشد. pH های قلیایی و اسیدی قابلیت کف‌کنندگی بیشتری نسبت به pH در نقطه ایزاکتیک داشتند که دلیل این افزایش را می‌توان به افزایش بار الکتریکی مولکول‌های پروتئین که سبب افزایش انعطاف پذیری بین مولکول‌های پروتئین و تضعیف بر هم کنش‌های هیدروفوبی بین آن‌ها می‌شود، نسبت داد. روند تغییرات ظرفیت کف‌کنندگی با تغییرات pH تقریباً مشابه تغییرات حلالیت پروتئین در دامنه pH مشابه بود که این امر ارتباط بین میزان حلالیت پروتئین و pH ظرفیت کف‌کنندگی را تایید می‌نماید. فیضی و همکاران (۲۰۱۵) نیز حداقل ظرفیت کف‌کنندگی ایزوله پروتئینی استخراج شده به روش قلیایی از دانه شبیله را در pH معادل ۴/۵ به میزان ۳۱ درصد گزارش کردند در حالی که بالاترین

۶-۳- ظرفیت کف‌کنندگی و پایداری کف

کف نوعی دیسپرسیون است که در آن یک فاز آبی یا نیمه جامد به عنوان فاز پیوسته، فاز گازی را به عنوان فاز پراکنده در بر می‌گیرد و تاثیر بسزایی در تولید فراورده‌هایی نظیر انواع موس و نوشیدنی‌ها دارد [۶۰]. تشکیل کف به واسطه وقوع سه مکانیسم انتقال، نفوذ و بازآرایی مولکول‌ها در حد فاصله هوا و آب صورت می‌پذیرد. این فرایندها تحت تاثیر آب‌دوستی سطحی، اندازه و انعطاف ساختاری سورفکتانت است [۶۱]. ظرفیت کف‌کنندگی و پایداری کف پروتئین شبیله به دست آمده به کمک امواج فراصوت در شکل ۵ (الف و ب) آورده شده است. بر اساس نتایج تجزیه و تحلیل آماری تغییرات pH تاثیر معنی‌داری بر ظرفیت کف‌کنندگی و پایداری کف پروتئین شبیله داشت ($p<0.05$). کمترین ظرفیت کف‌کنندگی شبیله داشت (۴۴/۶۶ درصد) در pH معادل ۵/۴ و بیشترین ظرفیت کف‌کنندگی (۹۲/۴۹ درصد) در pH معادل ۱۰ مشاهده شد.

۱۰ در زمان‌های ۳۰ تا ۱۲۰ دقیقه مورد مطالعه قرار گرفت. نتایج حاکی از آن است که با ثابت در نظر گرفتن pH گذشت زمان سبب کاهش معنی‌دار ($p < 0.05$) پایداری کف می‌شود. بیشترین میزان پایداری کف مربوط به pH معادل ۴/۵ و زمان ۳۰ دقیقه بود. فیضی و همکاران (۲۰۱۵) گزارش کردند که بیشترین مقدار پایداری کف با استفاده از ایزوله پروتئینی شنبه‌لیه استخراج شده به روش قلیابی در pH معادل ۴/۵ قابل دستیابی (حدود ۱۰۰-۸۸ درصد در زمان‌های ۳۰ و ۱۲۰ دقیقه) است و دلیل آن را به صفر بودن بار الکتریکی در نقطه ایزوالکتریک، ایجاد تعاملات آب‌گریز بین مولکول‌های پروتئین و ایجاد یک لایه ویسکوز و پایدار اطراف مولکول‌های هوا بیان کردند [۱۷]. نتایج جین و آنال (۲۰۱۶) حاکی از آن است که عوامل فراصوت سبب افزایش معنی‌دار در ظرفیت کف‌کنندگی و پایداری کف می‌گردد. آن دلیل این امر را انتقال سریع پروتئین‌ها به سطح بین هوا-آب و باز شدن تاخوردگی و قارگیری آن در مابین دو سطح دانسته‌اند که اعمال فراصوت سبب افزایش انعطاف پذیری پروتئین‌ها از طریق در معرض قرار گرفتن بیشتر بخش‌های آب‌گریز می‌شود [۵۰].

۷-۳- ظرفیت امولسیون کنندگی و پایداری

حرارتی امولسیون

پروتئین‌ها از آمینواسیدهای باردار، قطبی بدون بار و غیرقطبی تشکیل شده‌اند و از طرفی با داشتن هر دو خصوصیت آب‌دوستی و آب‌گریزی آنها را قادر ساخته تا بتوانند به حدفاصل اتصال آب و روغن در سیستم غذایی متصل شود [۶۴]. این عوامل باعث شده‌اند پروتئین‌ها از طریق کاهش تنش بین سطحی کارآیی مناسب به عنوان امولسیون کننده از خود نشان دهند [۶۵]. در حالی که پایداری امولسیون به ظرفیت پروتئین‌ها برای باقی ماندن در حدفاصل روغن و آب پس از نگهداری یا حرارت دیدن امولسیون اطلاق می‌شود. از آنجایی که ظرفیت امولسیون کنندگی پروتئین‌ها وابسته به حلایت و آب‌دوستی می‌باشد و اعمال فراصوت بر این دو پارامتر تاثیرگذار است لذا می‌توان بهبود ظرفیت امولسیون کنندگی پروتئین استخراج شده به کمک امواج فراصوت را محتمل دانست. ظرفیت امولسیون کنندگی و پایداری امولسیون پروتئین شنبه‌لیه به دست آمده به کمک امواج فراصوت در شکل ۶ (الف و ب) آورده شده است. بر اساس نتایج تجزیه و تحلیل آماری تغییرات pH تاثیر معنی‌داری بر ظرفیت

ظرفیت کف‌کنندگی در pH معادل ۸ و به میزان ۱۳۶/۷ درصد مشاهده شد [۱۷]. وانی و همکاران (۲۰۱۵) و مالیک و همکاران (۲۰۱۷) گزارش نمودند که با افزایش فاکتور آبدوستی به علت وجود پروتئین‌های محلول در اثر اعمال فراصوت از طریق کاهش کشش سطحی ظرفیت کف‌کنندگی افزایش می‌یابد [۶۲، ۵۲]. از طرفی باز شدن ساختار پروتئین‌ها و تعامل آنها با یکدیگر در مقیاس بین سطحی به این امر کمک بسزایی می‌نماید.

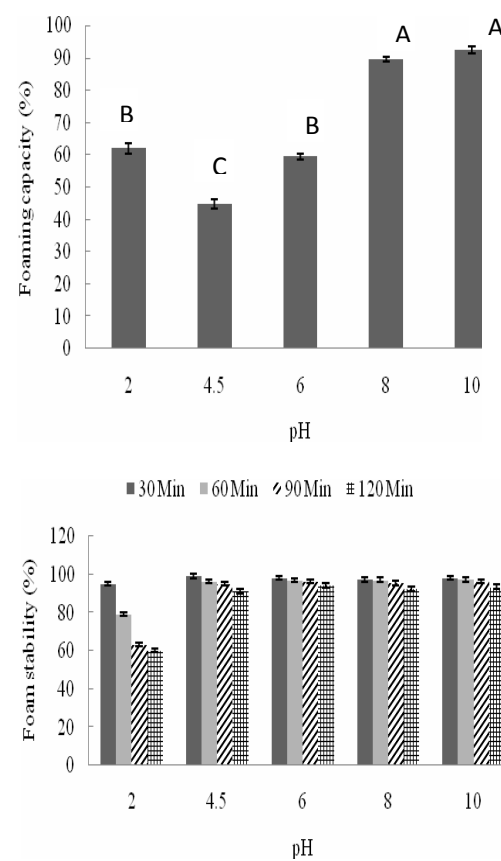


Fig 5 (a) Effect of pH changes on foaming capacity, **(b)** Effect of pH changes and time on foam stability of ultrasound - assisted extracted Fenugreek seed protein under optimized conditions.

The values with different superscript letters are significantly different ($p < 0.05$).

پایداری کف از طریق کاهش کشش بین سطحی مایع-گاز و یا تشکیل یک لایه پروتئین مقاوم با کشش پذیری بالا در اطراف حباب‌های گاز و یا تغییر گرانوی در فاز مایع حاصل می‌گردد [۶۳]. بدین منظور میزان پایداری کف در دامنه pH معادل ۲-

مالیک و همکاران (۲۰۱۷) افزایش پایداری امولسیون حاوی پروتئین‌های سویا و آفتگردان تحت تاثیر فراصوت را کاهش اندازه پیتیدها و تا اندازه‌ای باز شدن تاخورده‌گی پروتئین‌ها بیان کردند که این امر باعث انتقال و اتصال سریع‌تر پروتئین در سطح بین آب و روغن و در نتیجه بهبود ظرفیت امولسیون‌کنندگی می‌شود [۵۲، ۵۱]. بیشترین پایداری امولسیون در pH برابر ۱۰ حاصل شد و با گذشت زمان از پایداری امولسیون به طور معنی‌داری ($p < 0.05$) کاسته شد (شکل ۶-۶). فیضی و همکاران (۲۰۱۵) بالاترین میزان پایداری امولسیون حاوی پروتئینی شبیله استخراج شده به روش قلیایی در pH معادل ۸ را به میزان حدوداً ۱۰۰ درصد گزارش کردند در حالی که کمترین میزان پایداری در pHهای ۴/۵ و ۳ به دست آمد [۱۷]. آنها دلیل کاهش پایداری امولسیون در طول زمان را افزایش تماس بین قطرات روغن و بهم پیوستن آنها و دلیل کاهش پایداری امولسیون در pH نقطه ایزووالکتریک را کاهش نیروهای دافعه بین مولکول‌های پروتئین بیان کردند.

۶-۸-۳ بررسی میزان فعالیت مهار رادیکال‌های آزاد DPPH

رادیکال‌های آزاد DPPH می‌توانند هیدروژن را برای تولید یک مولکول پایدار DPPH بیدیرند؛ بنابراین رنگ محلول حاوی رادیکال‌های آزاد DPPH به طور معنی‌داری از بنفس به زرد روش تبدیل شده و میزان جذب را در ۵۱۷ نانومتر کاهش می‌دهد [۶۶]. فعالیت مهار رادیکال‌های آزاد DPPH توسط پروتئین شبیله و آسکوربیک اسید به عنوان یک ضد اکساینده طبیعی در غلظت‌های مختلف در جدول ۵ نشان داده شده است. تمام نمونه‌ها دارای اثر مهارکنندگی در پیرای رادیکال‌های آزاد DPPH بودند به طوری که با افزایش غلظت میزان فعالیت مهارکنندگی نیز افزایش یافت. بر اساس نتایج به دست آمده آسکوربیک اسید فعالیت مهار کنندگی قوی‌تری در مقایسه با پروتئین شبیله از خود نشان داد، با این حال این پروتئین شبیله نیز به عنوان یک محصولات طبیعی دارای توانایی چشمگیری در مهار رادیکال‌های آزاد DPPH می‌باشد. سازوکار احتمالی توانایی مهار رادیکال آزاد توسط نمونه‌های مورد مطالعه ممکن است با انتشار الکترون یا انتقال هیدروژن به رادیکال‌های آزاد از گروه‌های مختلف هیدروکسیل موجود در ساختار پروتئین مرتبط باشد و در نتیجه می‌تواند واکنش زنجیره‌ای رادیکال‌های آزاد را متوقف کند.

امولسیون‌کنندگی و پایداری امولسیون پروتئین شبیله داشت ($p < 0.05$). این امر را می‌توان به تغییر تعادل آب‌دوستی-آب‌گریزی مولکول‌های پروتئین در pHهای مختلف مرتبط دانست. بیشترین ظرفیت امولسیون‌کنندگی پروتئین شبیله استخراج شده به کمک امواج فرماست در pHهای قلیایی خصوصاً pH ۱۰، به میزان ۸۴/۵۳ درصد حاصل شد در حالی که کمترین میزان ظرفیت امولسیون کنندگی (۵۴/۸۲ درصد) به دلیل کاهش حلالیت پروتئین و انعطاف پذیری آن در pH نقطه ایزووالکتریک مشاهده شد (شکل ۶-الف).

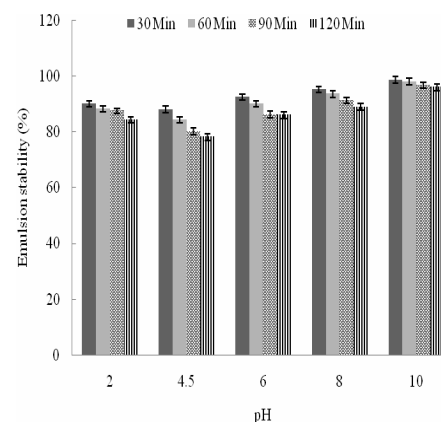
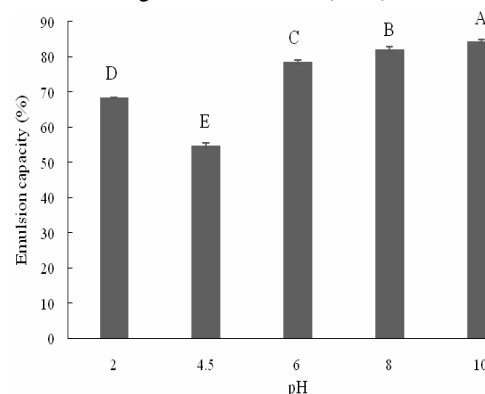


Fig 6 (a) Effect of pH changes on emulsion capacity. **(b)** Effect of pH changes and time on emulsion stability of ultrasound - assisted extracted Fenugreek seed protein under optimized conditions.

The values with different superscript letters are significantly different ($p < 0.05$).

این یافته با نتایج حاصل از پژوهش لاوال (۲۰۰۴) مطابقت دارد. برخلاف نتایج این پژوهش، در مطالعه فیضی و همکاران (۲۰۱۵) بالاترین ظرفیت امولسیون‌کنندگی پروتئینی شبیله استخراج شده به روش قلیایی در pH معادل ۳ به میزان ۳۹ درصد به دست آمد [۱۷]. جمیراک و همکاران (۲۰۰۹) و

Table 5 DPPHradical scavenging activity (%) of Fenugreek seed protein and ascorbic acid

Concentration (mg/mL)			Source
1	0.5	0.25	
63.28±1.00	54.37±1.18	52.85±1.34	Fenugreek seed protein
98.05±0.89	92.15±1.02	90.05±0.91	Ascorbic acid

- [2] Sikorski, Z. E. 2006. Chemical and functional properties of food components. CRC press.
- [3] El Nasri, N.A. and El Tinay, A.H. 2007. Functional properties of fenugreek (*Trigonella foenum graecum*) protein concentrate. Food Chemistry. 103: 582-589.
- [4] Oshodi, A.A. and Ojokan, E.O. 1997. Effect of salts on some of the functional properties of bovine plasma protein concentrate. Food Chemistry. 59(3): 333-338.
- [5] Arogundade, L. A. 2006. Functional characterization of Tef (*Eragosticstef*) protein concentrate: Influence of altered chemical environment on its gelation, foaming, and water hydration properties. Food Hydrocolloids. 20: 831-838.
- [6] Bakhshi, M.F., Milani, E., Mortazavi, S.A. and Meshkani, S.M. 2013. Effect of extraction methods on functional properties of chickpea protein isolated. Iranian Journal of Food Science and Technology. 10(38): 11-20.
- [7] Du, M., Xie, J., Gong, B., Xu, X., Tang, W., Li, X., Li, C. and Xie, M. 2018. Extraction, physicochemical characteristics and functional properties of Mung bean protein. Food Hydrocolloids. 76: 131-140.
- [8] Feyzi, S., Milani, E. and Golimovahhed, Q.A. 2018. Grass pea (*Lathyrus sativus* L.) protein isolate: The effect of extraction optimization and drying methods on the structure and functional properties. Food Hydrocolloids. 74: 187-196.
- [9] Jarpa-Parra, M., Bamdad, F., Wang, Y., Tian, Z., Temelli, F., Han, J. and Chen, L. 2014. Optimization of lentil protein extraction and the influence of process pH on protein structure and functionality. LWT-Food Science and Technology. 57(2): 461-469.
- [10] Ruiz, G.A., Xiao, W., Van Boekel, M., Minor, M. and Stieger, M. 2016. Effect of extraction pH on heat-induced aggregation, gelation and microstructure of protein isolate from quinoa (*Chenopodium quinoa* Willd). Food Chemistry. 209: 203-210.

۴- نتیجه گیری

پژوهش حاضر با هدف بهینه‌سازی متغیرهای مستقل شامل قدرت امواج فراصلوت و زمان اعمال فراصلوت موثر بر استخراج پروتئین از دانه شبیله، ارزیابی ساختار، ویژگی‌های عملکردی و فعالیت ضد اکسایشی پروتئین شبیله انجام شد. با توجه به نتایج بهینه‌سازی عددی، شرایط بهینه برای استخراج پروتئین شبیله به کمک فراصلوت شامل قدرت امواج فراصلوت معادل ۸۰ وات و زمان ۲۸/۳۹ دقیقه بود. در این شرایط حداقل عملکرد پیش‌بینی شده ۸/۶۵ درصد بود. وجود پروتئین و ساختار پروتئین شبیله به ترتیب با روش طیفسنجی مأموراء بنفش و مادون قرمز مورد تأیید قرار گرفت. پروتئینی به دست آمده به کمک امواج فراصلوت خصوصیات عملکردی مطلوبی از خود نشان دادند. به علاوه فعالیت ضد اکسایشی قابل قبولی برای پروتئین دانه شبیله مشاهده گردید که این امر به دلیل توانایی اهدای الکترون برای واکنش با رادیکال‌های آزاد می‌باشد. در نتیجه از امواج فراصلوت می‌توان برای جداسازی پروتئین از دانه شبیله در مدت زمان کوتاه‌تر و با خصوصیات عملکردی مطلوب‌تر جهت استفاده در فرمولاسیون مواد غذایی استفاده نمود.

۵- تقدير و تشكر

مقاله حاضر حاصل سمینار کارشناسی ارشد خانم آلا قاسمی کیا دانش آموخته گرایش فناوری مواد غذایی، گروه علوم و مهندسی صنایع غذایی دانشگاه زنجان می‌باشد. از دانشکده کشاورزی دانشگاه زنجان که با فراهم آوردن امکانات تحقیق ما را یاری کردن، سپاسگزاری می‌نماییم.

۶- منابع

- [1] Vojdan, F. 1996. Methods of testing protein functionality. Solubility. pp.11- 27. In: G. M. Hall (Ed.). Blackie academic and Professional. London.

- [21] Safaryan, M.J., Ganjloo, A., Bimakr, M.andZarringhalami, S. 2016. Optimization of ultrasound-assisted extraction, preliminary characterization and in vitro antioxidant activity of polysaccharides from green pea pods. Foods. 5(4): 1-15.
- [22] Bimakr, M., Ganjloo, A.andNoroozi, A. 2019. Effect of acoustic cavitation phenomenon on bioactive compounds release from *Eryngium caucasicum* leaves. Journal of Food Measurement and Characterization. 13(3): 1839 - 1851.
- [23] Bimakr, M., Rahman, R.A., Ganjloo, A., Taip, F.S., Adzahan, N.M.andSarker, M.Z.I. 2016. Characterization of valuable compounds from winter melon (*benincasa hispida* (thunb.) cogn.) seeds using supercritical carbon dioxide extraction combined with pressure swing technique. Food and Bioprocess Technology. 9(3): 396 - 406.
- [24] Bimakr, M., Ghoreishi, S.M., Ganjloo, A.andMousavi, M. 2019. Modified supercritical carbon dioxide extraction of biologically active compounds from *Feijoa Sellowiana* leaves. International Journal of Food Engineering. 15(7): 20180342.
- [25] Luque-Garcia, J.L. and De Castro, M.L. 2003. Ultrasound: A powerful tool for leaching TrAC Trends in Analytical Chemistry. 22(1): 41–47.
- [26] Maran, J. P., Mekala, V.andManikandan, S. 2013. Modeling and optimization of ultrasound-assisted extraction of polysaccharide from *Cucurbita moschata*. Carbohydrate Polymers. 92(2): 2018–2026.
- [27] Pico, Y. 2013. Ultrasound-assisted extraction for food and environmental samples. TrAC Trends in Analytical Chemistry. 43: 84–99.
- [28] Vilku, K., Manasseh, R., Mawson, R.andAshokkumar, M. 2011. Ultrasonic recovery and modification of food ingredients. In Ultrasound technologies for food and bioprocessing (pp. 345–368). Springer, New York, NY.
- [29] Preece, K. E., Hooshyar, N., Krijgsman, A., Fryer, P.J.andZuidam, N.J. 2017. Intensified soy protein extraction by ultrasound. Chemical Engineering and Processing: Process Intensification. 113: 94–101.
- [30] Yu, X., Gouyo, T., Grimi, N., Bals, O.andVorobiev, E. 2016. Ultrasound enhanced aqueous extraction from rapeseed [11] Feyzi, S., Varidi, M., Zare, F.andVaridi, M.J. 2015. Fenugreek (*Trigonella foenum graecum*) seed protein isolate: extraction optimization, amino acid composition, thermo and functional properties. Journal of the Science of Food and Agriculture 5(15): 3165–3176.
- [12] Srinivasan, K. 2006. Fenugreek (*Trigonella foenum-graecum*): a review of health beneficial physiological effects. Food-Reviews-International. 22: 203-224.
- [13] Leela, N.K. and Shafeekh, K.M. 2008. Fenugreek, In V.A. Parthasarathy., Chempakam, B., and Zachariah, T. J, Chemistry of spices, CAB International. London.
- [14] Wani, S.A. and Kumar, P. 2018. Fenugreek: A review on its nutraceutical properties and utilization in various food products. Journal of the Saudi Society of Agricultural Sciences. 17(2): 97–106.
- [15] Fowler, M.J. 2007. Diabetes treatment, part 1: diet and exercise. Clinical Diabetes 25(3): 105–109.
- [16] Gupta, A., Gupta, R.andLal, B. 2001. Effect of *Trigonella foenum-graecum* (fenugreek) seeds on glycaemic control and insulin resistance in type 2 diabetes. Journal of The Association of Physicians of India. 49: 1057–1061.
- [17] Feyzi, S., Varidi, M., Zare, F.andVaridi, M.J. 2015. Effect of pH changes on functional properties of fenugreek protein isolate. Iranian Food Science and Technology Research Journal. 11(5): 521–534.
- [18] Phongthai, S., Lim, S.T.andRawdkuen, S. 2016. Optimization of microwave-assisted extraction of rice bran protein and its hydrolysates properties. Journal of Cereal Science. 70: 146–154.
- [19] Sarkis, J.R., Boussetta, N., Blouet, C., Tessaro, I.C., Marczak, L.D.F.andVorobiev, E. 2015. Effect of pulsed electric fields and high voltage electrical discharges on polyphenol and protein extraction from sesame cake. Innovative Food Science & Emerging Technologies. 29: 170–177.
- [20] Alvarez, C., Lélu, P., Lynch, S.A.andTiwari, B.K. 2018. Optimised protein recovery from mackerel whole fish by using sequential acid/alkaline isoelectric solubilization precipitation (ISP) extraction assisted by ultrasound. LWT-Food Science and Technology. 88: 210–216.

- protein isolates. *Food/Nahrung.* 45(4): 258–262.
- [41] Xie, J.H., Shen, M.Y., Xie, M.Y., Nie, S.P., Chen, Y., Li, C., DF, H.andWang, Y.X. 2012. Ultrasonic-assisted extraction, antimicrobial and antioxidant activities of *Cyclocarya paliurus* (Batal.) Iljinskaja polysaccharides. *Carbohydrate Polymers.* 89(1): 177–184.
- [42] Tian, Y., Zeng, H., Xu, Z., Zheng, B., Lin, Y., Gan, C.andLo, Y. 2012. Ultrasonic-assisted extraction and antioxidant activity of polysaccharides recovered from white button mushroom (*Agaricus bisporus*). *Carbohydrate Polymers.* 88(2): 522–529.
- [43] Wei, F., Gao, G.Z., Wang, X.F., Dong, X.Y., Li, P.P., Hua, W., Wang, X., Wu, X.M.andChen, H. 2008. Quantitative determination of oil content in small quantity of oilseed rape by ultrasound-assisted extraction combined with gas chromatography. *Ultrasonics Sonochemistry.* 15: 938–942.
- [44] Zhao, S., Kwok, K.C.andLiang, H.H. 2007. Investigation on ultrasound assisted extraction of saikosaponins from *Radix Bupleuri*.*Separation and Purification Technology.* 55: 307–312.
- [45] Zhu, K.-X., Sun, X.-H.andZhou, H.-M. 2009. Optimization of ultrasound-assisted extraction of defatted wheat germ proteins by reverse micelles. *Journal of Cereal Science.* 50: 266-271.
- [46] Yang, Y., Cui, S.W., Gong, J., Guo, Q., Wang, Q.andHua, Y. 2015. A soy protein-polysaccharides Maillard reaction product enhanced the physical stability of oil-in-water emulsions containing citral. *Food Hydrocolloids.* 48: 155–164.
- [47] Chen, X., Ru, Y., Chen, F., Wang, X., Zhao, X.andAo, Q. 2013. FTIR spectroscopic characterization of soy proteins obtained through AOT reverse Micelles. *Food Hydrocolloids.* 31: 435–437.
- [48] Silverstein, R. M., Bassler, G. C. andMorrill, T.C. 1981. Infrared spectroscopy. In *Spectrometric identification of organic Compounds* (pp. 95–137). New York: John Wiley and Sons.
- [49] Dong, X., Guo, L., Wei, F., Li, J., Jiang, M., Li, G.M., Zhao, Y.D.andChen, H. 2011. Some characteristics and functional properties of rapeseed protein prepared by ultrasonication, ultrafiltration and isoelectric green biomass for polyphenol and protein valorization. *Comptes Rendus Chimie.* 19(6): 766–777.
- [31] Jiang, L.Z., Wang, J., Li, Y., Wang, Z.J., Liang, J., Wang, R., Ma, W., Qi, B., Zhang, M.andChen, Y. 2014. Effects of ultrasound on the structure and physical properties of black bean protein isolates. *Food Research International.* 62: 595–601.
- [32] Hu, H., Wu, J., Li-Chan, E.C., Zhu, L., Zhang, F.andXu, X. 2013. Effects of ultrasound on structural and physical properties of soy protein isolate (SPI) dispersions. *Food Hydrocolloids.* 30(2): 647–655.
- [33] Higuera-Barraza, O.A., Del Toro-Sánchez, C.L., Ruiz-Cruz, S.andMárquez-Ríos, E. 2016. Effects of high-energy ultrasound on the functional properties of proteins. *Ultrasonics Sonochemistry.* 31: 558–562.
- [34] Amza, T., Amadou, I., Zhu, K.andZhou, H. 2011. Effect of extraction and isolation on physicochemical and functional properties of an underutilized seed protein: Gingerbread plum (*Neocarya macrophylla*). *Food Research International.* 44(9): 2843–2850.
- [35] Chen, Y., Luo, H., Gao, A.andZhu, M. 2011. Ultrasound-assisted extraction of polysaccharides from litchi (*Litchi chinensis* Sonn.) seed by response surface methodology and their structural characteristics. *Innovative Food Science & Emerging Technologies.* 12(3): 305–309.
- [36] Bera, M.B. and Mukherjee, M.R.K. 1989. Solubility, emulsifying, and foaming properties of rice bran protein concentrates. *Journal of Food Science.* 54: 142–145.
- [37] Owusu-Apenten, R.K. 2002. Food protein analysis: quantitative effects on processing. Marcel Dekker, Inc: New York.
- [38] Beuchat, L.R. 1977. Functional and electrophoretic characteristics of succinylated peanut flour protein. *Journal of Agricultural and Food Chemistry.* 25(2): 258–261.
- [39] Coffmann, C.W. and Garciaj, V.V. 1977. Functional properties and amino acid content of a protein isolate from mung bean flour. *International Journal of Food Science & Technology.* 12(5): 473–484.
- [40] Neto, V.Q., Narain, N., Silva, J.B.andBora, P.S. 2001. Functional properties of raw and heat processed cashew nut (*Anacardium occidentale* L.) kernel

- properties of bambara groundnut (*Voandzeia subterranean*), jack bean (*Canavalia ensiformis*) and mucuna bean (*Mucuna pruriens*) flours. *Food Research International*. 37(4): 355–365.
- [60] Nasrollahzadeh, F., Varidi, M., Koocheki, A. and Hadizadeh, F. 2017. Effect of microwave and conventional heating on structural, functional and antioxidant properties of bovine serum albumin-maltodextrin conjugates through Maillard reaction. *Food Research International*. 100: 289–297.
- [61] Wilde, P.J. and Clark, D.C. 1996. The competitive displacement of β -lactoglobulin by tween 20 from oil–water and air–water interfaces. *Journal of Colloid and Interface Science*. 155: 48–54.
- [62] Wani, I.A., Sogi, D.S. and Gill, B.S. 2015. Physico-chemical and functional properties of native and hydrolyzed protein isolates from Indian black gram (*Phaseolus mungo* L.) cultivars. *LWT–Food Science and Technology*. 60(2): 848–854.
- [63] Aremo, M.O. and Olaofe, O. 2007. Functional properties of some Nigerian varieties of legume seed flours and flour concentration effect on foaming and gelation properties. *Journal of Food Technology*. 5(2): 109–115.
- [64] Yu, J., Ahmedna, M. and Goktepe, I. 2007. Peanut protein concentrate: Production and functional properties as affected by processing. *Food Chemistry*. 103(1): 121–129.
- [65] Sarkar, A., Goh, K.T. and Singh, H. 2010. Properties of oil-in-water emulsions stabilized by β -lactoglobulin in simulated gastric fluid as influenced by ionic strength and presence of mucin. *Food Hydrocolloids*. 24: 534–541.
- [66] Feng, S., Cheng, H., Fu, L., Ding, C., Zhang, L., Yang, R. and Zhou, Y. 2014. Ultrasonic-assisted extraction and antioxidant activities of polysaccharides from *Camellia oleifera* leaves. *International Journal of Biological Macromolecules*. 68: 7–12.
- precipitation. *Journal of the Science of Food and Agriculture*. 91(8): 1488–1498.
- [50] Jain, S. and Anal, A.K. 2016. Optimization of extraction of functional protein hydrolysates from chicken egg shell membrane (ESM) by ultrasonic assisted extraction (UAE) and enzymatic hydrolysis. *LWT–Food Science and Technology*. 69: 295–302.
- [51] Jambrak, A.R., Lelas, V., Mason, T.J., Krešić, G. and Badanjak, M. 2009. Physical properties of ultrasound treated soy proteins. *Journal of Food Engineering*. 93: 386–393.
- [52] Malik, M.A., Sharma, H.K. and Saini, C.S. 2017. High intensity ultrasound treatment of protein isolate extracted from dephenolized sunflower meal: Effect on physicochemical and functional properties. *Ultrasonics Sonochemistry*. 39: 511–519.
- [53] Connolly, A., Piggott, C.O. and Fitz Gerald, R.J. 2014. Technofunctional properties of a brewers' spent grain protein-enriched isolate and its associated enzymatic hydrolysates. *LWT–Food Science and Technology*. 59(2): 1061–1067.
- [54] Bhaskaracharya, R.K., Kentish, S. and Ashokkumar, M. 2009. Selected Applications of Ultrasonic in Food Processing. *Food Engineering Reviews*. 1: 31–49.
- [55] Hu, H., Fan, X., Zhou, Z., Xu, X., Fan, G., Wang, L., Huang, X., Pan, S. and Zhu, L. 2013. Acid induced gelation behavior of soybean protein isolate with high intensity ultrasonic pre-treatments. *Ultrasonics Sonochemistry*. 20: 187–195.
- [56] Seena, S. and Sridhar, K.R. 2005. Physicochemical, functional and cooking properties of *Canavalia*. *Food Chemistry*. 32: 406–412.
- [57] Kinsella, J.E. 1982. Relationships between structure and functional properties of food proteins. *Food Proteins*. 1: 51–103.
- [58] Kaur, M. and Singh, N. 2007. Characterization of protein isolates from different Indian chickpea (*Cicer arietinum* L.) cultivars. *Food Chemistry*. 102: 366–374.
- [59] Adebowale, K.O. and Lawal, O.S. 2004. Comparative study of the functional

Iranian Journal of Food Science and Technology

Homepage:www.fsct.modares.ir



Scientific Research

Optimization of Ultrasound-assisted Extraction of Fenugreek Seed Protein and Evaluation of Its Structural, Functional Properties and AntioxidantActivity

Ghasemi Kia, A. ¹, Ganjloo, A. ^{2*}, Bimakr, M. ²

1. MSc of Food Technology, Department of Food Science and Engineering, Faculty of Agriculture, University of Zanjan, Zanjan, Iran.
2. Associate Professor, Department of Food Science and Engineering, Faculty of Agriculture, University of Zanjan, Zanjan, Iran.

ABSTRACT

Proteins are one of the most important food constituents due to their unique functional properties and health benefits. Among plant proteins, fenugreek seed protein is of great interest due to its high content of essential amino acids. The current study was carried out to optimize ultrasound-assisted extraction of fenugreek seed protein and evaluation of its functional, structural and antioxidant properties. The optimal conditions for protein extraction were ultrasonic power of 80 W and sonication time of 28.39 min which under these conditions, the predicted extraction yield was 8.65% which was in good agreement with the experimental value (8.57%). Amide A, amides type I, II, and III bands were observed in Fourier transform infrared spectrum. The solubility was pH-dependent. The water and oil absorption capacity was 6.24 and 2.72 mL/g, respectively. The lowest (44.66%) and highest (92.49%) foaming capacities were observed at pH 4.5 and 10, respectively. The highest emulsifying capacity (84.53%) was observed at pH 10, while the lowest (54.82%) was at isoelectric point. At the constant pH, the foam and emulsion stability decreased over time. The results revealed that ultrasound can be applied effectively to reduce the time of protein extraction process from fenugreek seeds. In addition, the fenugreek seeds extracted by using ultrasound have desirable functional and antioxidant properties that make it feasible for utilization in the food industry.

ARTICLE INFO

Article History:

Received 2021/ 11/ 24

Accepted 2022/ 05/ 23

Keywords:

Extraction,
Response surface methodology,
Fourier transform infrared spectroscopy,
Protein solubility,
Foaming capacity.

DOI: 10.22034/FSCT.19.126.39

DOR: 20.1001.1.20088787.1401.19.126.14.5

*Corresponding Author E-Mail:
aganjloo@znu.ac.ir